

**Instituto Superior Técnico**

MEEC

Machine Learning

**Lab 1**

**Linear Regression**

**Group 9**

Manuel Diniz, 84125  
Alexandre Rodrigues, 90002

**Turno:** 4<sup>a</sup>f 11h00

# Contents

<b>1</b>	<b>Pre-processamento dos dados</b>	<b>2</b>
<b>2</b>	<b><i>Multilayer perceptron</i></b>	<b>3</b>
<b>3</b>	<b><i>Convolutional neural network</i></b>	<b>4</b>

# Chapter 1

## Pre-processamento dos dados

De modo a melhor se enquadrarem ao tipo de redes neuronais a usar, os dados são alterados de forma a se obter valores para cada pixel de 0 a 1 em *floating point*, ao invés dos 0 a 255 em *uint8*. Valores normalizados adequam-se melhor a redes neuronais, pelo que se divide por 255. Para além disto converte-se a *label* de cada imagem para representação *one-hot*, um formato mais uma vez mais adequado para os modelos a usar.

## Chapter 2

### *Multilayer perceptron*

## Chapter 3

# *Convolutional neural network*

É agora criado o modelo de uma *CNN*, com a arquitetura especificada. Este modelo é treinado por um máximo de 200 *epochs*, e programado para parar mais cedo se não existirem melhorias na aprendizagem.

O *callback* de *early stopping* tem como objetivo evitar que o modelo fique *overfit*, pelo que é muito importante que este se baseie na métrica correta para decidir quando parar a aprendizagem e restaurar os melhores pesos. A métrica a escolher é claramente *val\_loss*, ou *loss* de validação, isto porque é a métrica que dá uma avaliação da *performance* do modelo com dados com qual este não treinou. Se fosse usado, por exemplo, a métrica *loss*, que diz respeito aos dados de treino, o modelo iria tornar-se significativamente *overfit*.

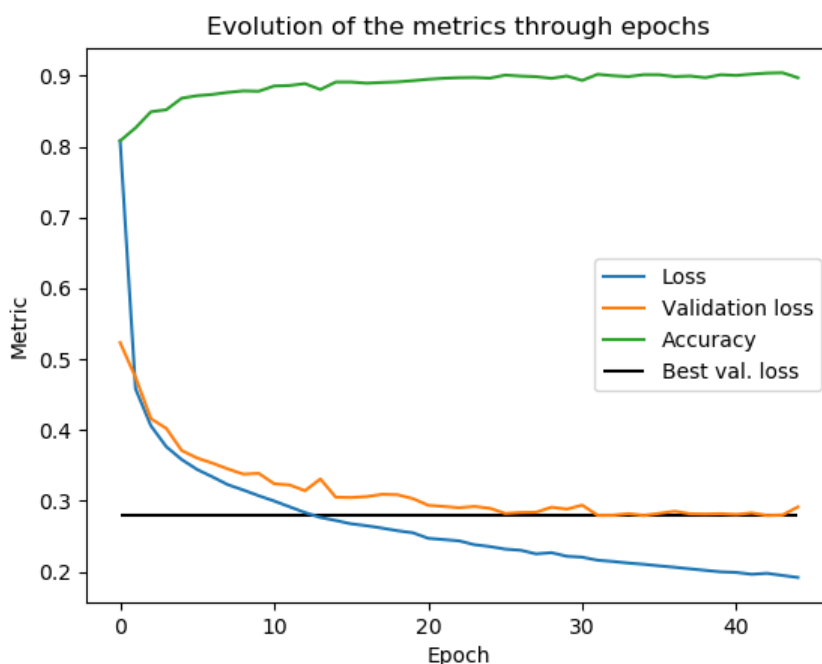


Figure 3.1: Evolução das métricas ao longo dos *epochs*

Como se pode observar, a *loss* continua a diminuir muito depois da *validation loss* estabilizar.

Observa-se ainda uma pequena subida da *validation loss* junto aos últimos *epochs*, antes do *early stopping* ter parado a aprendizagem. Nesta altura o modelo estava a tornar-se *overfit*, melhorando a *performance* nos dados de treino ao custo da nos dados de validação.

A validação final com os dados de teste produz uma *accuracy* de 0.9016, e a *confusion matrix* seguinte:

Label	T-shirt	Trouser	Pullover	Dress	Coat	Sandal	Shirt	Sneaker	Bag	Ankle boot
T-shirt	870	0	24	25	2	1	71	0	7	0
Trouser	1	971	1	21	2	0	2	0	2	0
Pullover	18	0	868	7	37	0	67	0	3	0
Dress	16	2	16	906	28	0	27	0	5	0
Coat	1	1	53	19	845	0	77	0	4	0
Sandal	0	0	0	0	0	971	0	21	0	8
Shirt	153	0	68	21	56	0	685	0	17	0
Sneaker	0	0	0	0	0	9	0	974	0	17
Bag	3	1	8	4	4	2	7	5	965	1
Ankle boot	1	0	0	0	0	4	0	34	0	961

Como se pode observar, o modelo é robusto na identificação dos objetos. O maior volume de enganos ocorre na identificação de peças de roupa semelhantes, como *T-shirts* e *shirts*, o que é razoável, tendo em conta que os seus formatos são parecidos.

Observando agora as ativações das camadas de convolução para uma imagem exemplo, obtém-se:

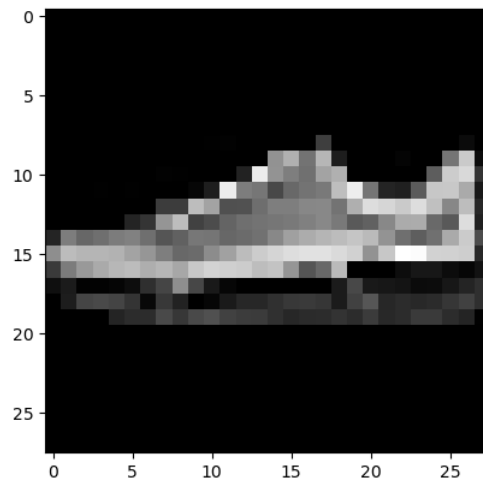


Figure 3.2: Imagem de teste

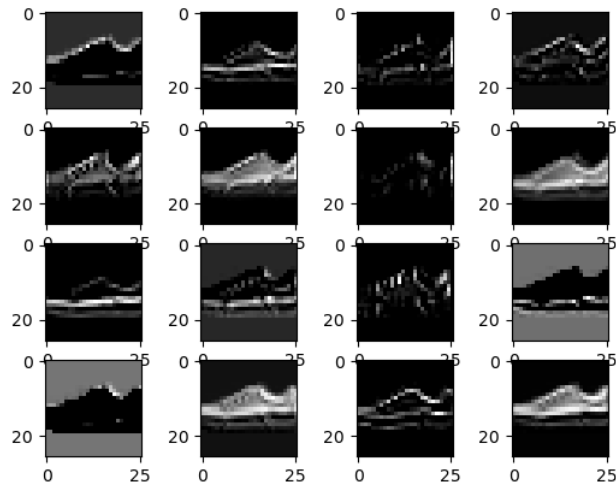


Figure 3.3: Ativação da primeira camada convolucional

Há uma certa dificuldade em tentar entender as *features* que cada canal capta, pois uma rede neuronal nem sempre opera do modo que imaginamos, e há uma certa tendência de impor a nossa lógica ou forma de pensar sobre o modelo, que pode não ser correto. No entanto, parece ser possível extrapolar que o canal 12 (começando a contar do 0) e talvez o 11 extraem, por exemplo, o formato geral do sapato.

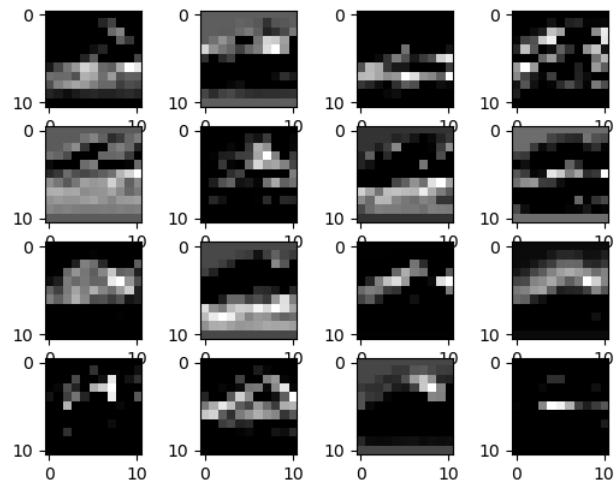


Figure 3.4: Ativação da segunda camada convolucional

A segunda convolução já não permite, através de um olho humano, entender minimamente o processo que o modelo usa, ou que *features* está a identificar. Algumas ativações parecem realçar as bordas do objeto, mas é difícil dizer ao certo.